

Fig. 1

1/21

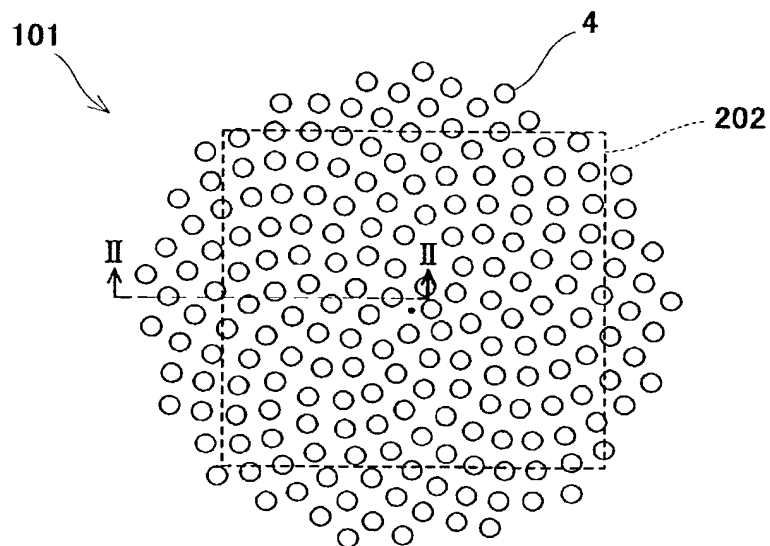


Fig. 2

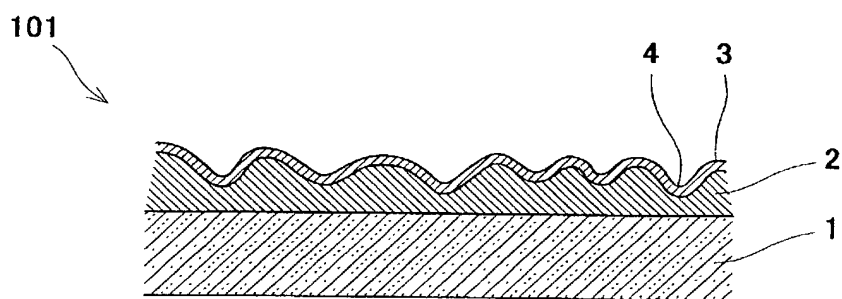


Fig. 3

2/21

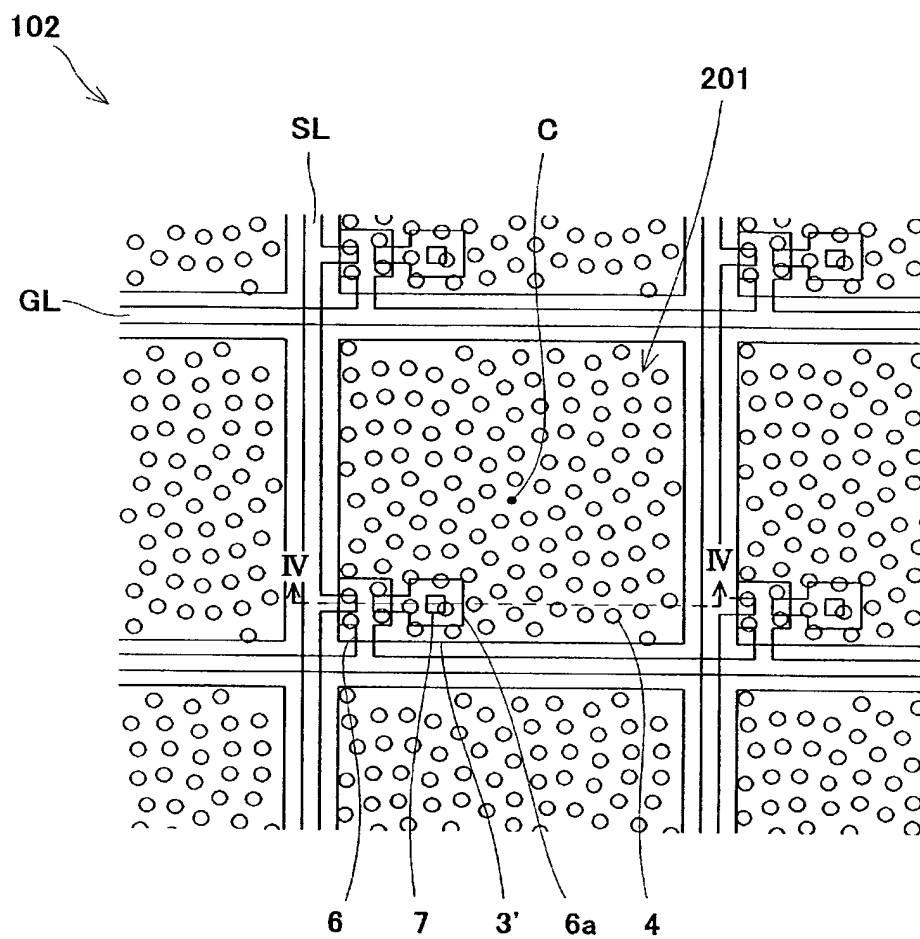


Fig. 4

3/21

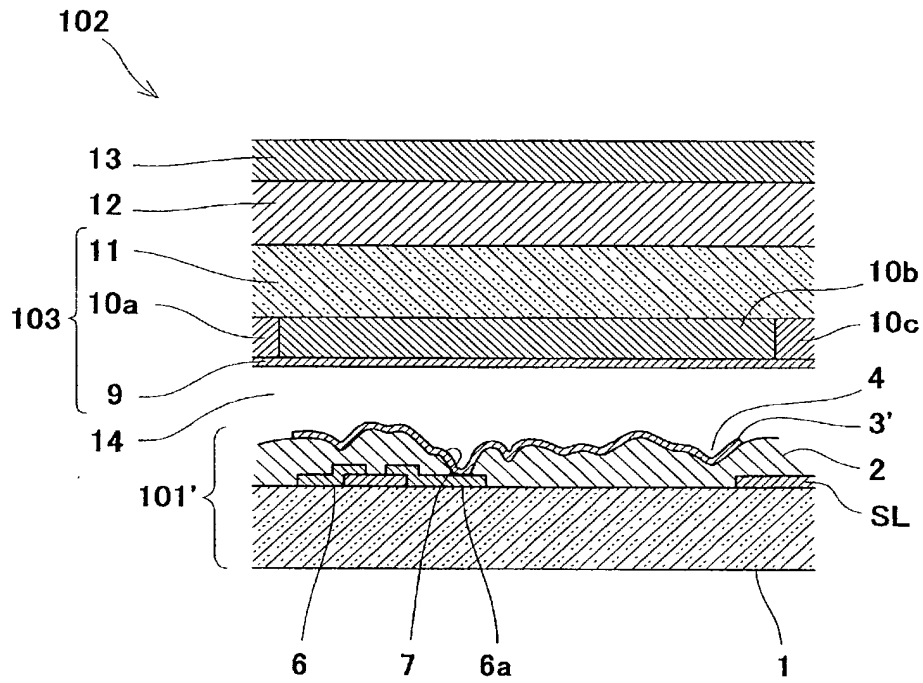


Fig. 5

4/21

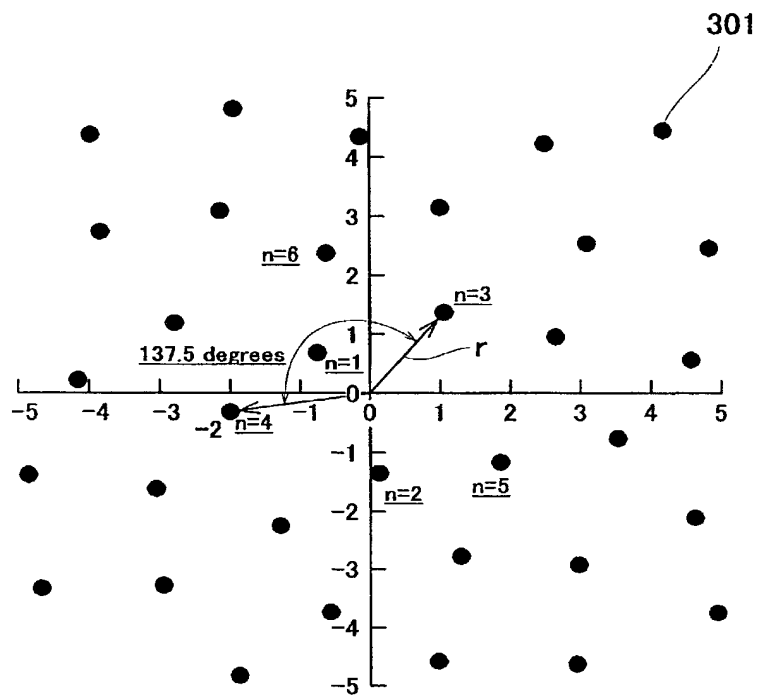


Fig. 6

5/21

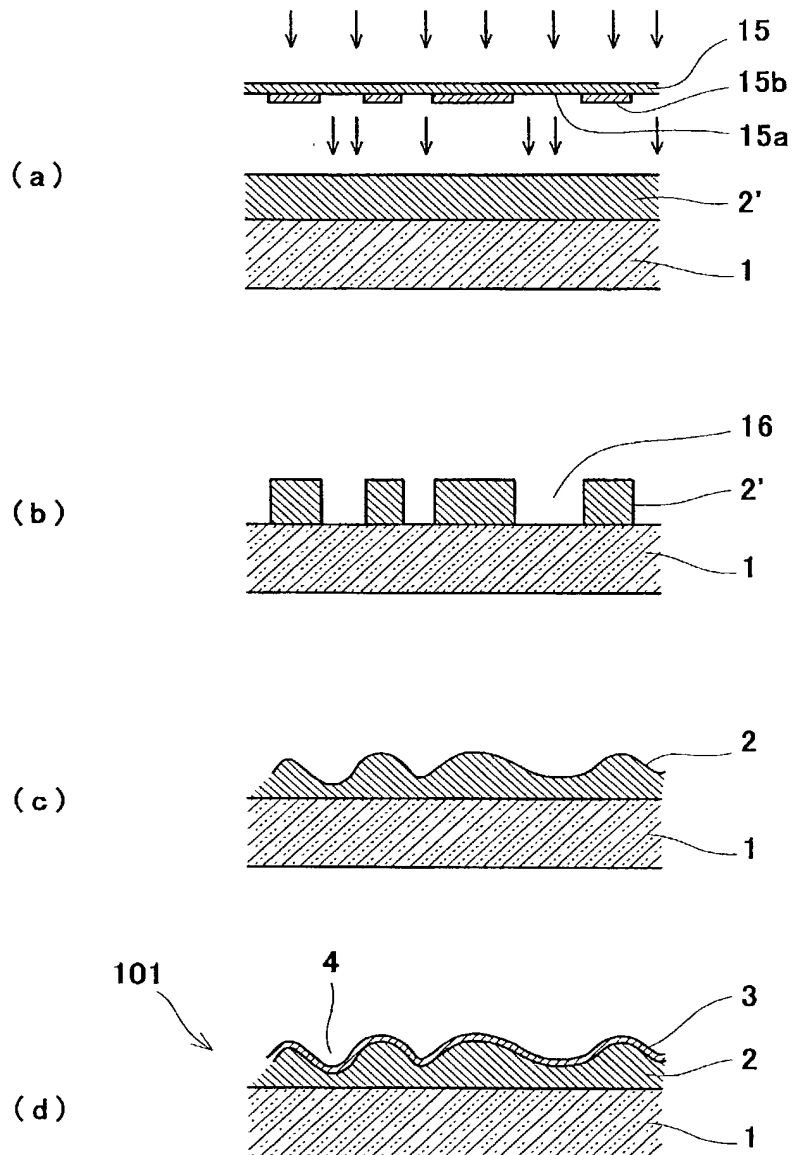


Fig. 7

6/21

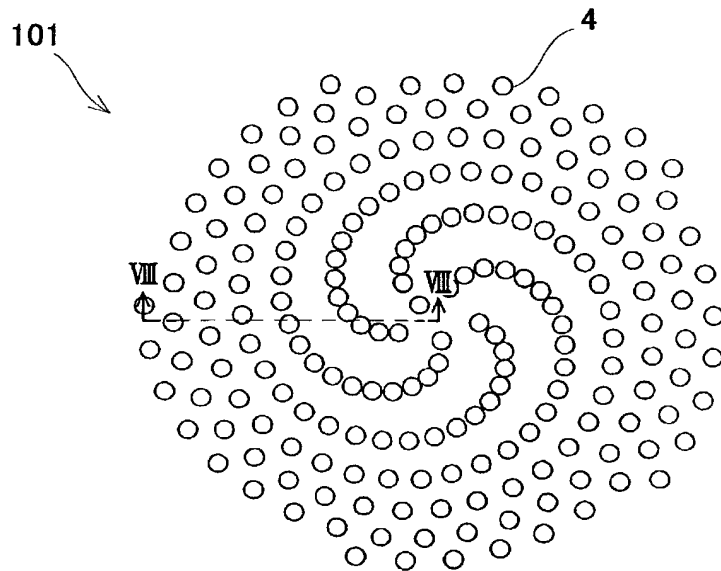


Fig. 8

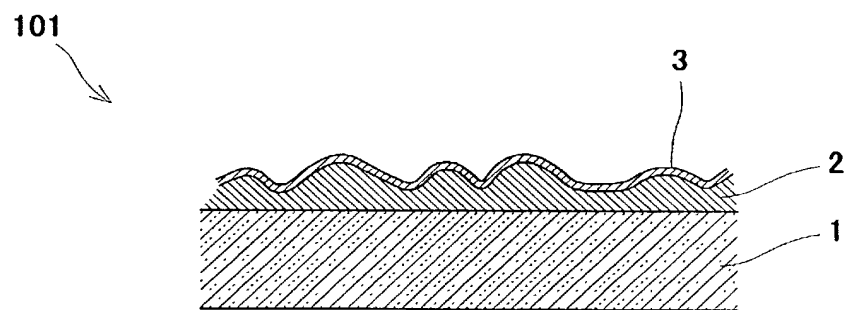


Fig. 9

7/21

101

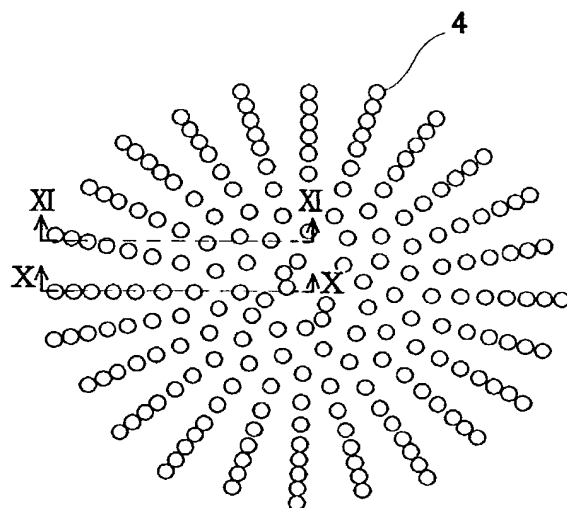


Fig. 10

101

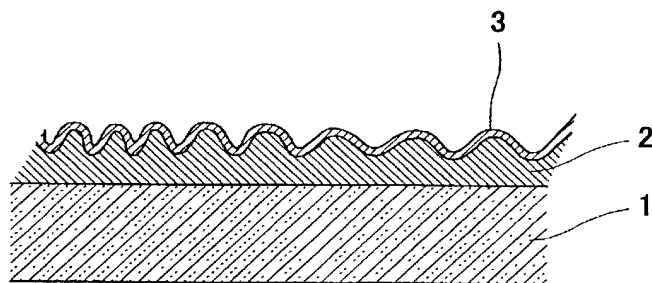


Fig. 1 1

8/21

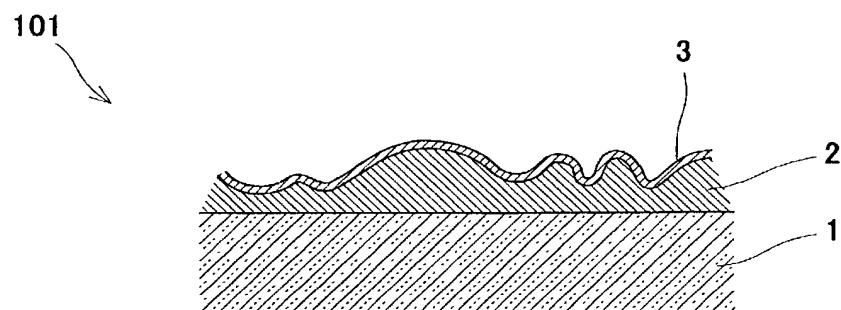


Fig. 1 2

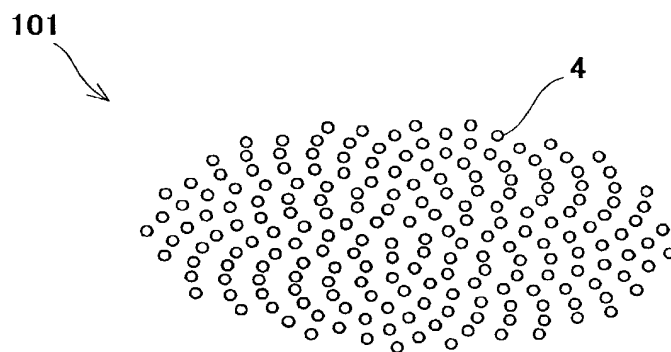




Fig. 13

9/21

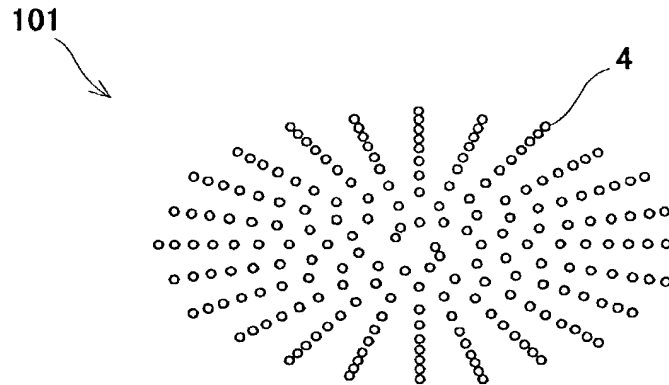


Fig. 14

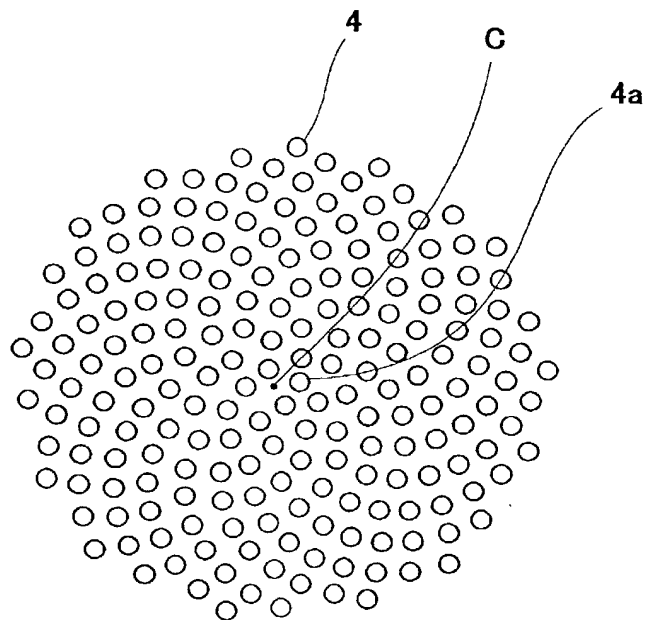


Fig. 15

10/21

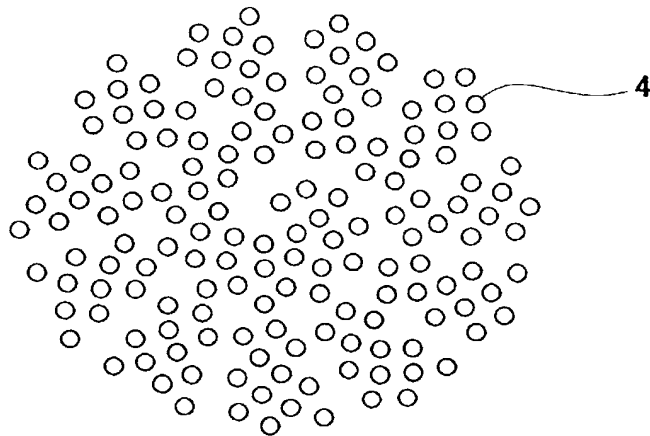


Fig. 16

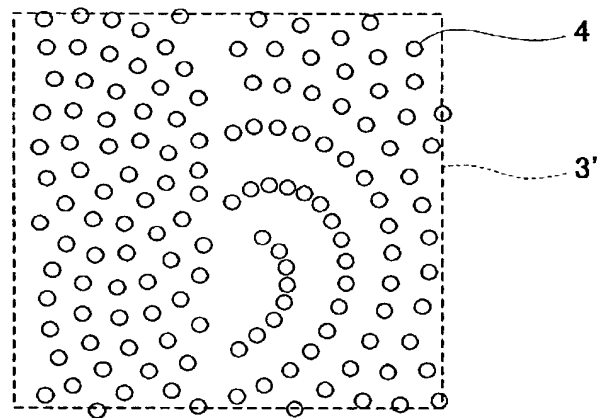


Fig. 17

11/21

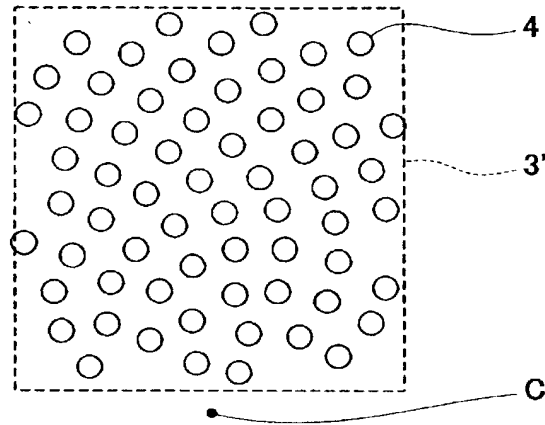


Fig. 18

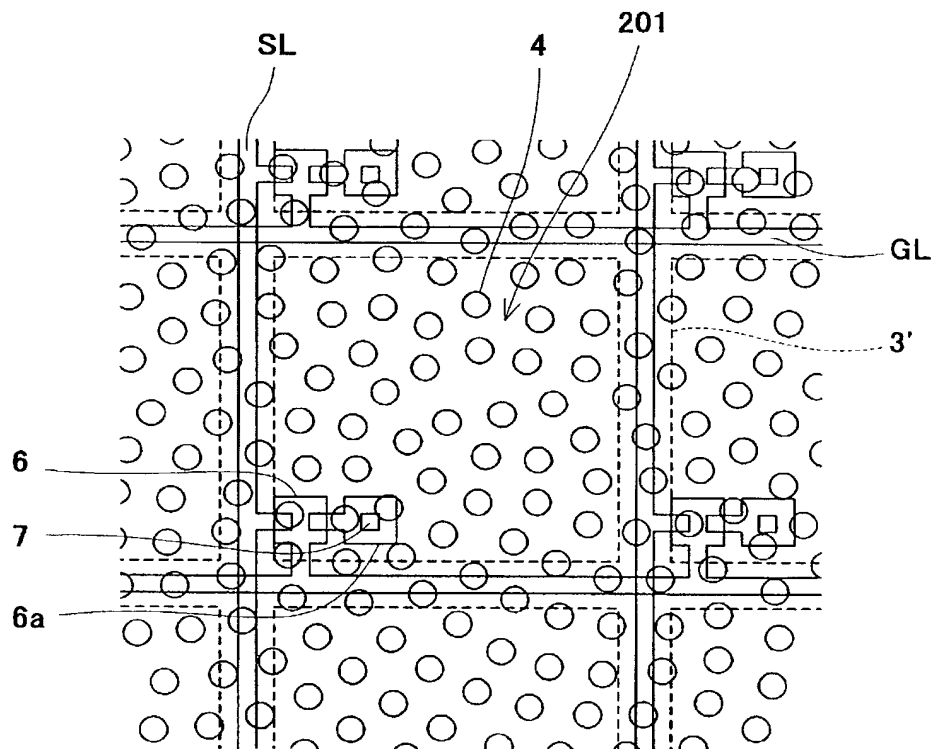


Fig. 19

12/21

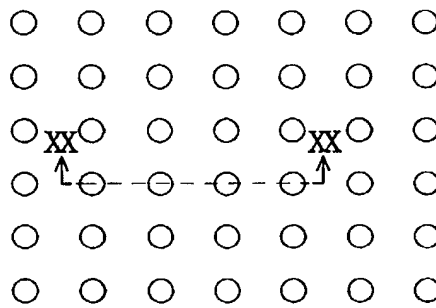


Fig. 20

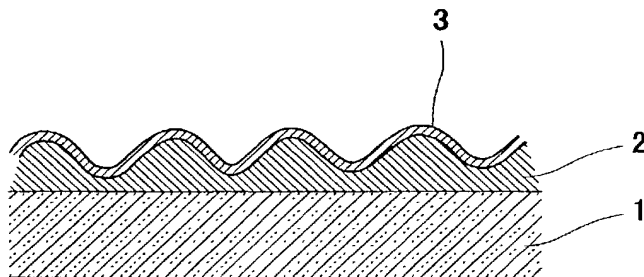


Fig. 21

13/21

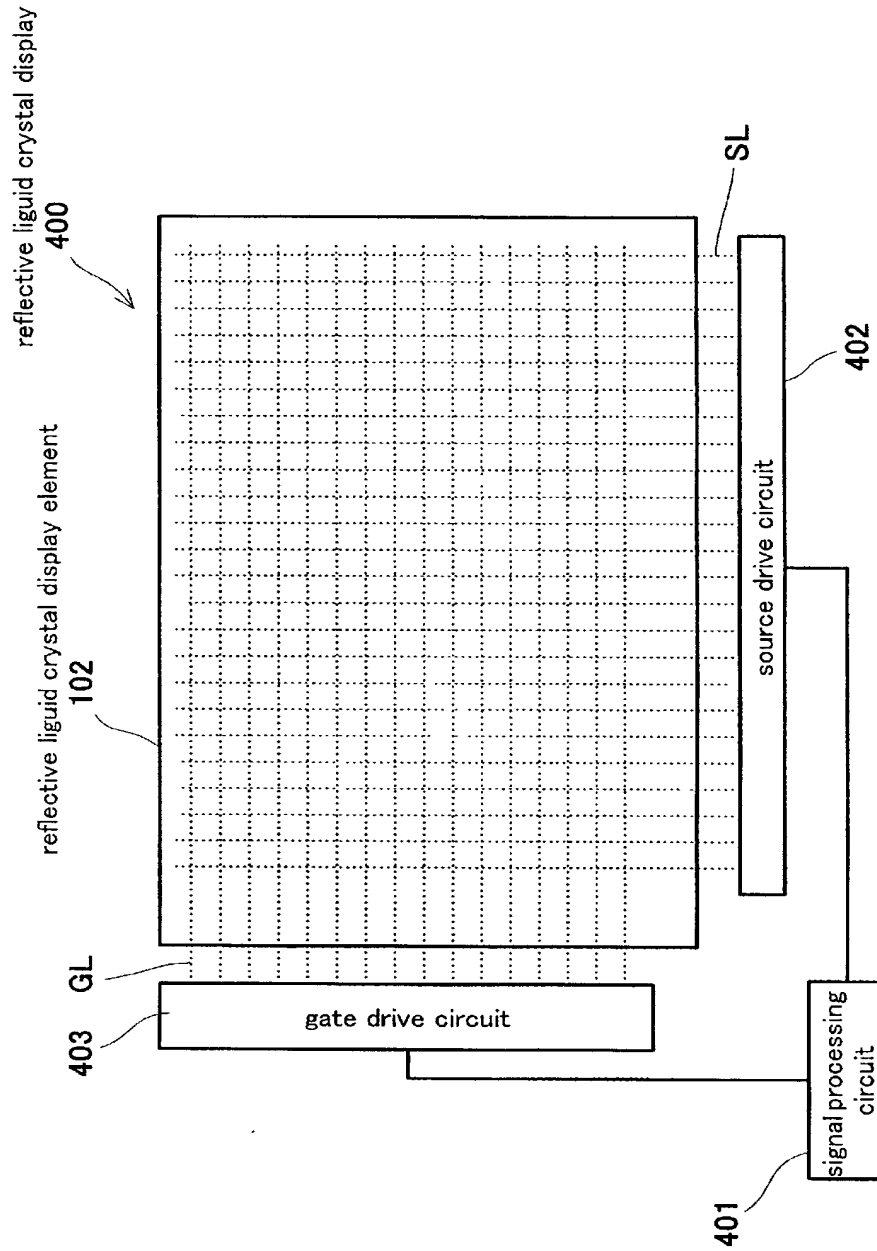


Fig. 22

14/21

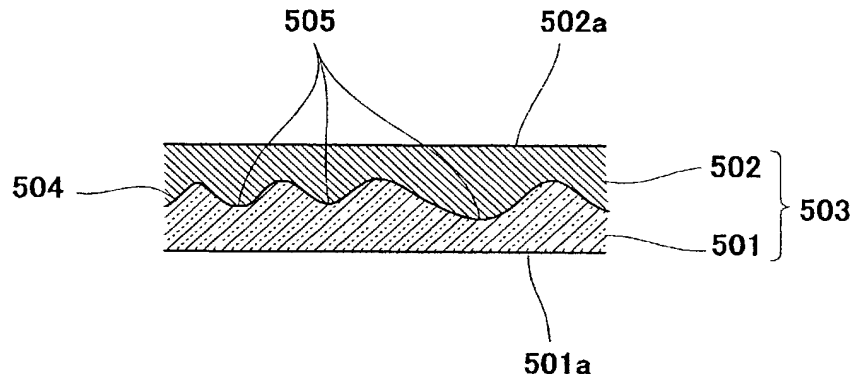


Fig. 23

15/21

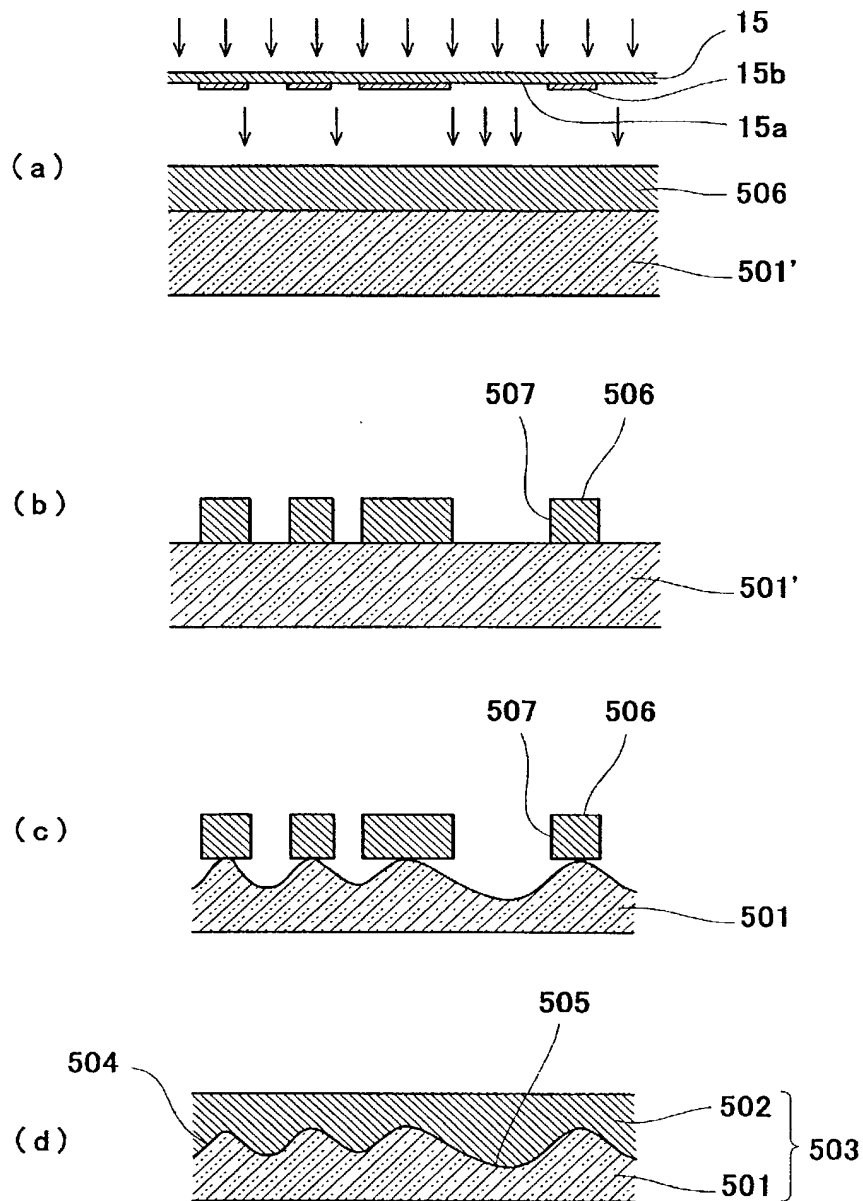


Fig. 24

16/21

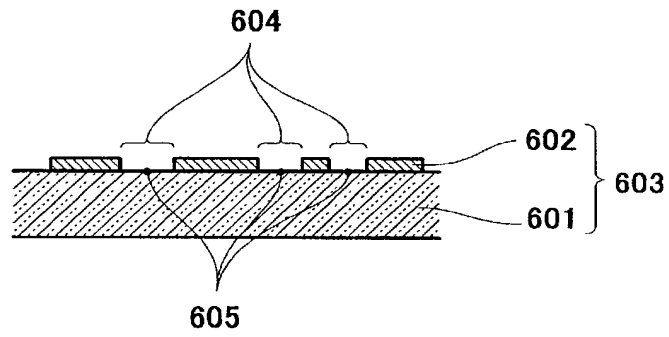




Fig. 25

17/21

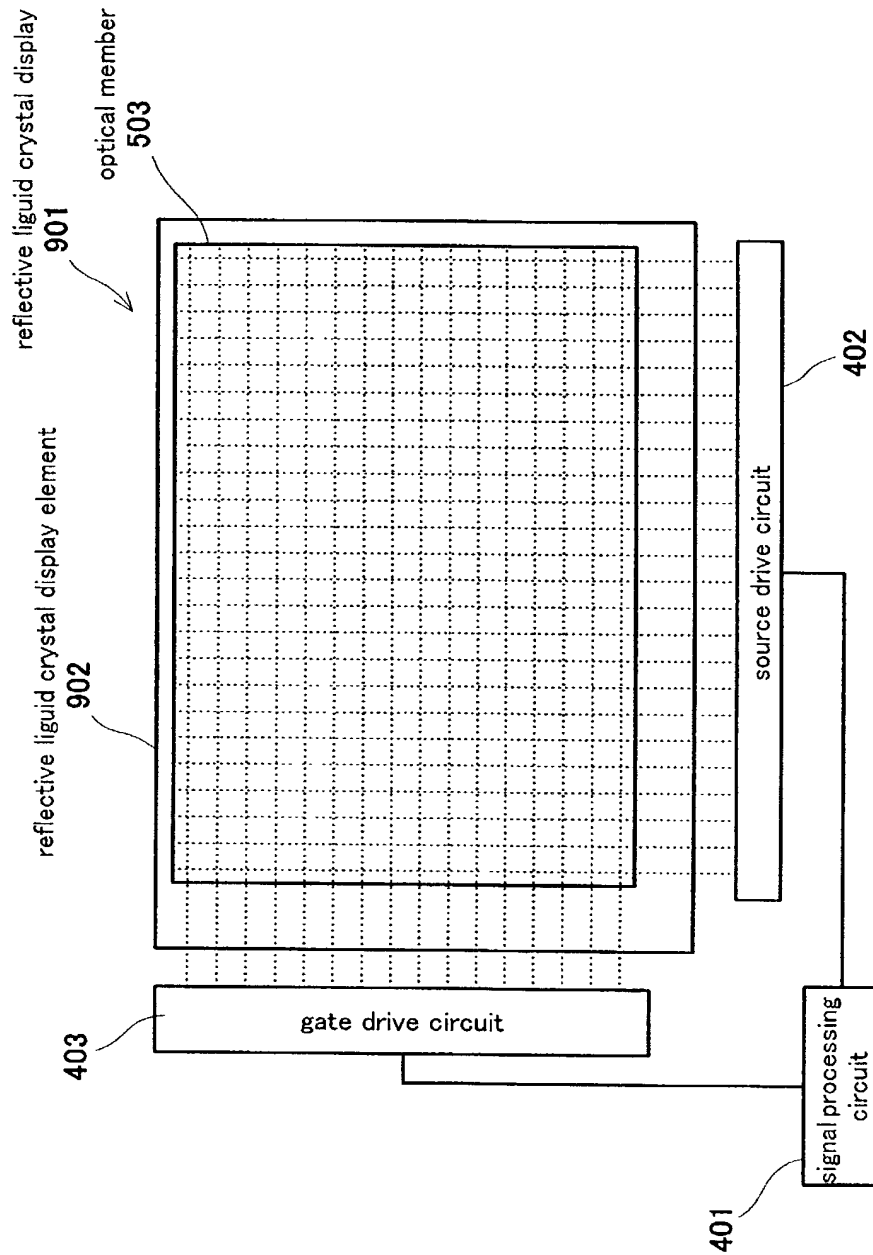


Fig. 26

18/21

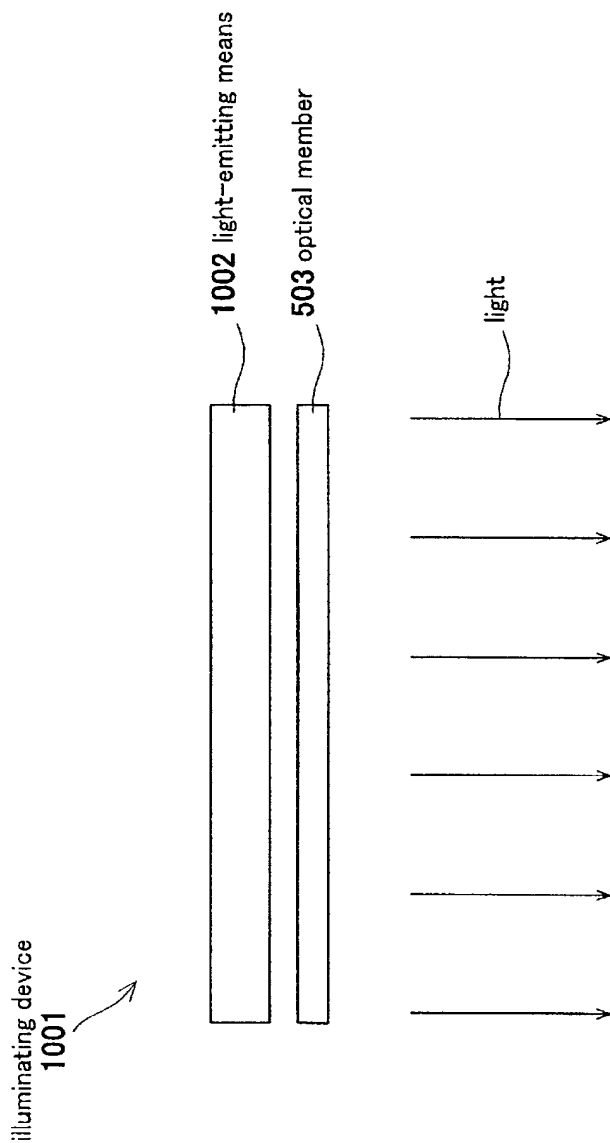


Fig. 27

19/21

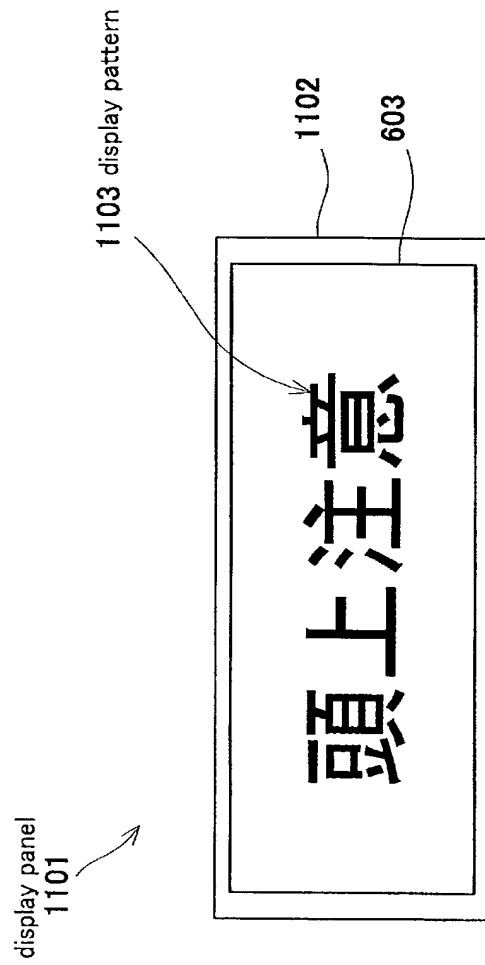


Fig. 28

20/21

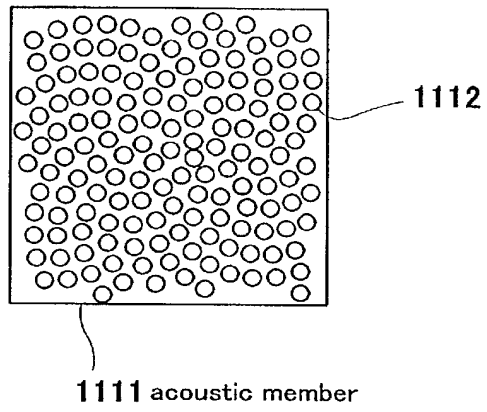


Fig. 29

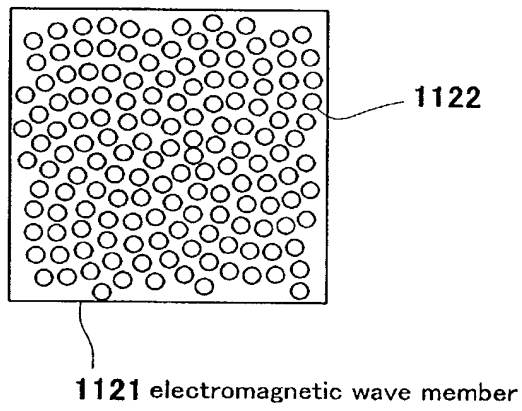


Fig. 30

21/21

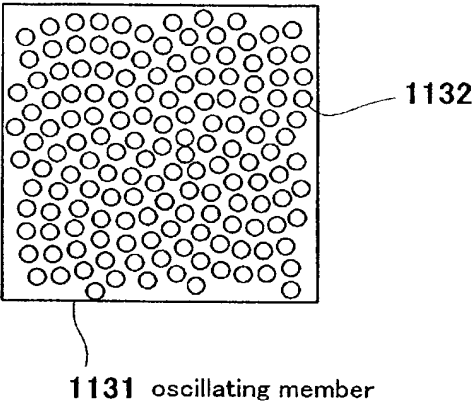


Fig. 31

